

淡塩二層流の中間層

東北大学工学部 正員 岩崎 錠夫
 東北大学文理学院 学生員 江原 昌彦
 東北大学文理学院 学生員 O佐藤 勝弘

1. はじめに すでに示したように 淡塩二層流に関して抵抗係数などの諸量を算定するに際して、中間層が形成されている場合、その影響を考慮する必要がある。今回、中間層を理論的に検討し、数値解析により密度構造、流れの様子を調べ、実験との比較検討を行ったのでここに報告する。

2. 実験装置と実験条件 実験は 斜面した塩水層上を淡水層が流動する成層流とし、既報の水路を用いた。測定は 中間層が平衡状態に達した後に(行ない)、界面形状は ポイントゲージを使用し、目視により同定した。また、濃度分布は 電気伝導式濃度計を使用した。実験条件は Table 1 に示した。

3. 数値解析方法 中間層のモデル化に際し、実験での観察を考慮して、次の仮定を行った。

(1) 定常二次元問題である。

(2) 第一界面は上層流との関係で定まる。

(3) 第二界面は水平であり、中間層の上端端は淡水と塩水の接觸点である。

(4) 第一界面からの Turbulent entrainment は無視する。

(5) 中間層の流域は下流域に並を除いて全般的に粘性が卓越している。《第一界面形状の解析》 界面に作用する shear stress による上昇(I)に重なるで流域が集中するために生じる圧力低下の効果による上昇(II)を加えて第一界面とした。

(I)の算定 —— 二層流における界面形状の式

$$\frac{dh}{dx} = -\frac{f_i}{2} \frac{F_i^2(1+r)}{1-F_i^2} \quad (F_i = U_i / \sqrt{\rho_i g h_i}, r = \frac{\rho_1 h_1}{\rho_2 h_2})$$

における抵抗係数について 岩崎の実験式(2)式を用いて算定した。

$$f_i = 7.88 \psi^{-0.8356} \quad (2)$$

(II)の算定 —— 壁面近傍では慣性項が卓越しているので、y 方向の運動方程式 $\rho u \frac{\partial u}{\partial y} + \rho v \frac{\partial v}{\partial y} = f_y - \frac{\partial p}{\partial y}$ を y に関する 0 から h_1 まで積分し、左辺第二項にペルヌーイの定理を適用して 次の式を得た。

$$f = \frac{1}{E_{12}} \frac{1}{2} (U_{\infty}^2 - U_s^2) - \frac{2}{E_{12}} \int_{y=0}^{h_1} u v dy + (1 - \frac{2}{E_{12}}) u v|_{y=f} - U_s^2|_{y=f} \quad (3)$$

ここで $E_{12} = \rho_2 - \rho_1 / \rho_2$, U_s は表層流速である。上層流に関して流れ関数 ψ を導入し、(4)の支配方程式を(5)の境界条件で解き トライアルで第一界面を逐次改良した。なお、 $h_1 U_s$ で無次元化している。

$$\nabla^2 \psi^* = 0 \quad (4) \quad \psi^* = y^* \text{ on } A \sim B, \psi^* = 1 \text{ on } A \sim D \quad \left. \begin{array}{l} \psi^* = \frac{1}{\alpha} \{ \psi^* - (1-\alpha) \} \text{ on } C \sim D, \psi^* = 0 \text{ on } \psi^* = f(x), C \sim D \end{array} \right\} \quad (5)$$

《中間層の解析》 支配方程式が いざれも 橋門型二層流の支配方程式となつてゐるため、ここでは SOR

Table 1 実験条件

	Run 1	2	3	4
壁高(h, cm)	5.0	6.0	6.0	6.0
h_{ave} (cm)	0.75	0.52	1.11	1.42
h (cm)	5.95	7.55	8.31	9.98
Q (m ³ /sec)	205.7	122.8	313.8	437.5
U_1 (cm/sec)	2260	1063	2468	2865
$\epsilon_1 = \rho_1 U_1 P_1$	0.0272	0.0272	0.0272	0.0272
T_1 (°C)	9.45	8.8	9.0	8.6
T_2 (°C)	9.45	8.55	9.0	8.7
T_3 (°C)	9.2	8.25	8.7	8.35
R_p	325	791	1519	2095
R_p'	254	169	228	310
$r_{1,2}$	0.1795	0.0750	0.1659	0.1757
∇_B	3	4	42	65

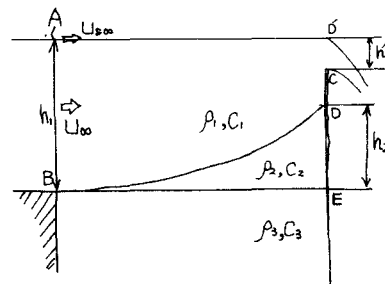


Fig. 1 三層モデル

法を用いた。なお、 h_2 , U_0 , C_0 で無次元化を行っている。

$$\left. \begin{aligned} \nabla^* S^* &= 0 \\ \zeta^* &= \nabla^* \psi^* \\ \frac{\partial \psi^*}{\partial x^*} - \frac{\partial U^*}{\partial z^*} &= K_x^* \frac{\partial C^*}{\partial z^*} + K_y^* \frac{\partial C^*}{\partial x^*} \end{aligned} \right\} \quad \left. \begin{aligned} (6) \quad S^* &= -h_2 \frac{\partial \psi^*}{\partial x^*}, C^* = 0; \text{ on } B \sim D \\ S^* &= -\frac{\partial \psi^*}{\partial z^*}, U^* = U^* = 0, \frac{\partial C^*}{\partial z^*} = 0; \text{ on } D \sim E \\ S^* &= -\frac{\partial \psi^*}{\partial x^*}, U^* = U^* = 0, C^* = 1; \text{ on } B \sim E \end{aligned} \right\} \quad (7)$$

ここで $S^* = \frac{\partial \psi^*}{\partial x^*} - \frac{\partial U^*}{\partial z^*}$, K_x^*, K_y^* はそれぞれ x^* および z^* 方向の無次元化された粘度係数である。

4. 結果と考察 Fig 2 は Run 1 の実験の $\bar{x} - \bar{z}$ を用いた計算により最終的に決定した 第一界面形状を 実測値と共に示したものである。両者はおおよそ一致しているが、計算による形状の方が、堰付近での立ち上がりが急であることがわかる。この原因としては、この付近で粘性を無視した計算を行ったため、堰に衝突する部分での shear stress による勾配を無視していることと、壁際には $y = 10$ 種度でもこの付近では混合が生じ entrainment がある場合もあるため、界面形状の妥当性に問題があるためと考えられる。Fig 3 には同じケースについて計算で求めた堰付近の中間層の流速ベクトル分布を示した。第一界面に作用する shear stress によって循環流が生じている様子がうがわれる。この循環の中には第一界面に作用する shear が大きくなるほど、堰近くにまで及んでいくことが如手アースとの比較から知られる。Fig 4 に Run 4 につき計算と求められた濃度分布と実験値を示した。両者の分布形は必ずしもよく一致していると言えるが、下流域にむかうほど差が現れにくくなるのがわかる。Fig 5 には、Run 3 の実験パラメータに合わせて計算した二層モデル及び三層モデルによる界面形状と実測による界面形状を示した。二層モデルによる算定式(1)の式を用いた。(2)式は中間層が発生している状況において第一界面のみに着目して二層モデルとして算定したものである。三層モデルの算定式は

$$\frac{dh_1}{dx} = \left[f_c \frac{U^2 (1 + 3/2 \gamma_2)}{2g h_1} + \frac{h_2}{2g_2} \frac{d\bar{A}}{dz} \right] / \left(\varepsilon_{12} - \frac{U^2}{g h_1} \right) \quad (8)$$

において抵抗係数 f_c として金子の実験式を用いた。

$$f_c = 0.2 \psi^{-0.5} \quad (9)$$

算定式(8)式を \bar{x} の実測値を用いて Runge-kutta 法により数値処理した。三層モデルによる界面形状は実測値とおおよそ一致しているが、二層モデルから計算した形状はそれらとはあまりよく合っていない。しかし、ほぼ等しい \bar{A} 値を有する流れの Run 1 についてはよい一致を見せていく。この様に密度構造の急激な変化によって界面形状が若干相当大幅に変わることがわかる。密度構造について本論文において言及を示したが、なまら後の検討が必要である。最後に、本実験を行なうにあたり御協力いただいた 東北大学文部技官 佐藤弘氏、佐藤栄司氏に感謝の意を表します。

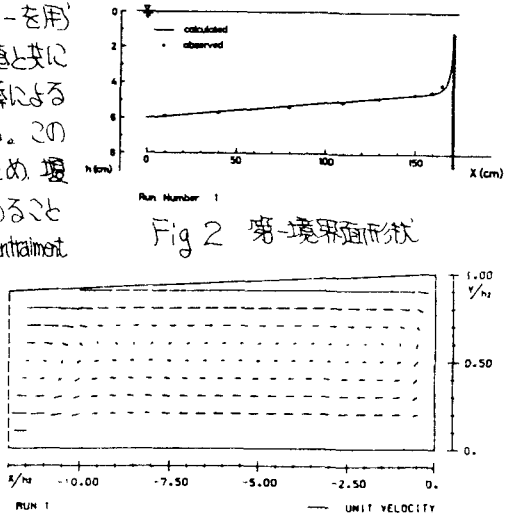


Fig 2 第一界面形状

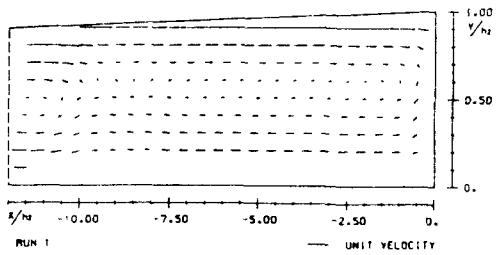


Fig. 3 中間層の速度ベクトル

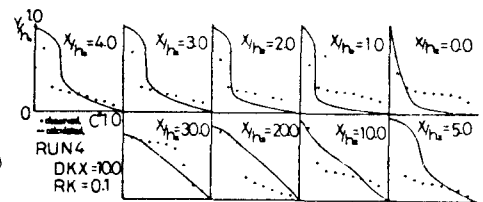


Fig 4 濃度分布形

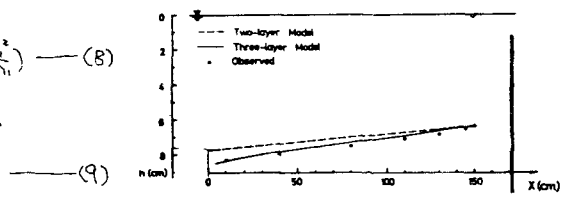


Fig. 5 第一界面形状